

## ИМПУЛЬСНЫЕ СЕТЕВЫЕ ПРЕОБРАЗОВАТЕЛИ, ПОНИЖАЮЩЕ-ПОВЫШАЮЩИЕ ВЫХОДНОЕ НАПРЯЖЕНИЕ

Э.Н. Гречко, докт. техн. наук,

Зеленогурский университет, Институт информатики и электроники,  
Польша

*Описаны построение и принцип действия, а также проведен сравнительный анализ функциональных возможностей преобразователей AC/DC типа buck – boost и Чука с синусоидальным входным током и коэффициентом мощности, равным единице. Библ. 4, рис. 5.*

**Ключевые слова:** компьютерное моделирование, преобразователь, транзистор, дроссель, конденсатор.

Проблеме построения преобразователей с улучшенной электромагнитной совместимостью (с синусоидальным входным током и коэффициентом мощности, равным единице, посвящен ряд работ [3, 4]. Однако в них рассматриваются сетевые преобразователи AC/DC, имеющие возможность только повышать выходное напряжение (англ.: boost converter). Улучшение энергетических показателей в таких устройствах достигается путем включения между диодным мостом выпрямителя и выходным сглаживающим конденсатором дополнительного широтно-импульсного преобразователя (англ.: преобразователя DC/DC), который выполняет функции корректора коэффициента мощности.

В то же время целесообразно расширить функциональные возможности сетевых преобразователей AC/DC возможностями понижающе-повышающих выходное напряжение (англ.: buck – boost converter), которые могли бы формировать выходное постоянное напряжение как меньшее, так и большее амплитуды напряжения питающей сети, сохраняя при этом функции корректора коэффициента мощности [3, 4] на входе устройства в сторону единицы.

В работе [1] рассмотрена возможность расширения функциональных возможностей рассматриваемого типа преобразователей AC/DC путем введения в их состав блока DC/DC, понижающе-повышающего выходное напряжение. В этой же работе принято сокращенное название данного преобразователя AC/DC как bb (buck – boost). Подобными свойствами обладает также преобразователь AC/DC [2] согласно топологии Чука (по имени автора, предложившего преобразователь DC/DC типа Чука).

Целью настоящей работы является описание построения, принципа действия и сравнительного анализа функциональных возможностей преобразователей AC/DC типа bb и Чука с синусоидальным входным током и коэффициентом мощности, равным единице.

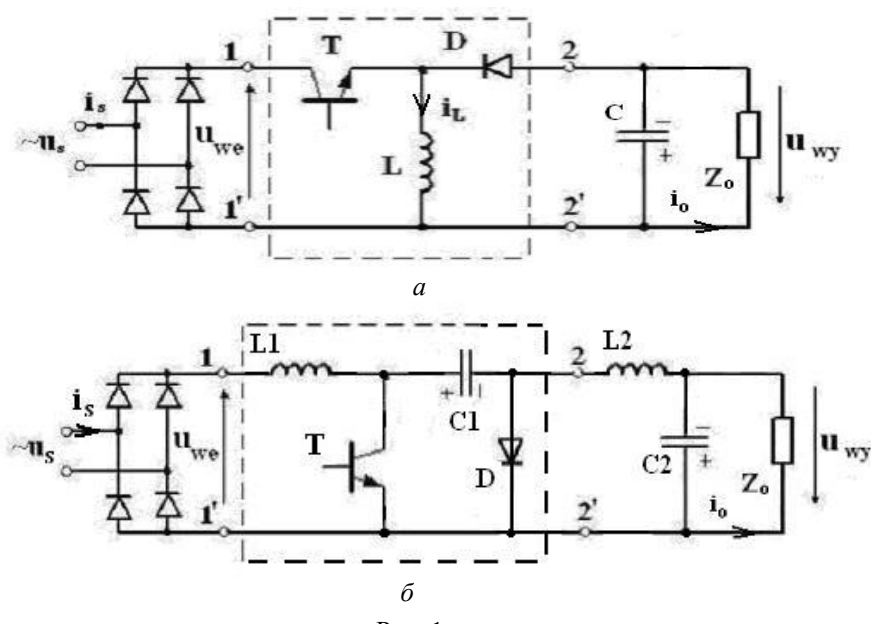


Рис. 1

**Импульсный сетевой преобразователь AC/DC типа bb.** Силовая схема преобразователя представлена на рис. 1 а. Непосредственно в состав преобразователя между диодным мостом выпрямителя, зажимы 1-1', и выходным сглаживающим конденсатором и нагрузкой

кой, зажимы 2-2', включен преобразователь DC/DC, который представлен в виде блока, обозначенного пунктирной линией.

Главным промежуточным элементом, осуществляющим накопление и передачу энергии от выпрямителя в нагрузку, является дроссель  $L$ . В интервале времени включенного состояния транзистора Т дроссель  $L$  подключен непосредственно к выходным зажимам выпрямителя. С учетом высокой добротности этой цепи ток дросселя  $i_L$  будет нарастать линейно во времени, увеличивая запасенную энергию дросселя  $L$ . В течение этого же времени диод D будет заблокирован, что препятствует разряду конденсатора C на цепь с дросселем. Ток в цепи нагрузки  $Z_0$  поддерживается за счет накопленной энергии конденсатора в предыдущем цикле.

После выключения транзистора диод D будет поляризован в положительном направлении, а затем накопленная энергия из дросселя будет поступать в нагрузку и накопительный конденсатор C. Таким образом, циклически дроссель преобразователя берет энергию от источника питания и передает её в нагрузку.

**Схема импульсного сетевого преобразователя AC/DC согласно топологии Чука** показана на рис. 1 б. Между выходными зажимами 1-1' диодного моста выпрямителя и входными зажимами 2-2' выходного Г-образного сглаживающего фильтра L2C2 включен преобразователь DC/DC типа Чука, обозначенный пунктирной линией. Выходное напряжение  $u_{wy}$  преобразователя Чука имеет противоположную полярность напряжения по сравнению с выходным напряжением выпрямителя, а средняя величина этого напряжения может быть как меньшей, так и большей амплитуды напряжения питающей сети  $U_{sm}$ .

Основным элементом, осуществляющим накопление и передачу энергии от выпрямителя к нагрузке, является конденсатор C1. Кроме конденсатора в состав преобразователя DC/DC входят дроссель L1, который служит для ограничения тока через силовой транзистор Т, и диод D.

В интервале включенного состояния транзистора Т дроссель L1 подключен непосредственно к выходным зажимам выпрямителя. С учетом высокой добротности этой цепи ток дросселя  $i_L$  будет нарастать линейно во времени, увеличивая запасенную энергию дросселя L1. Одновременно конденсатор C1 разряжается через включенный транзистор на нагрузку током  $i_{C1}$ . При этом ток  $i_{C1}$  будет равным величине тока дросселя  $i_{L1}$  и току нагрузки. В течение этого интервала времени диод D будет заблокирован и тем самым будет препятствовать разряду конденсатора C2 на дроссель L2. Ток в цепи нагрузки  $Z_0$  поддерживается за счет накопленной энергии конденсатором C1 в предыдущем цикле.

После выключения транзистора диод D будет поляризован в направлении проводимости. Через него поплынет одна составляющая тока  $i_{L1}$ , вызванная накопленной энергией в дросселе L1, а также вторая составляющая тока  $i_{L2}$ , вызванная накопленной энергией в дросселе L2 в предыдущем интервале времени. В это время накопленная энергия в дросселе L1 в предыдущем интервале времени (при включенном транзисторе Т) будет передаваться конденсатору C1.

Из изложенного следует, что конденсатор C1 на первом интервале времени разряжается через включенный транзистор на нагрузку током  $i_{C1}$ , а на втором интервале времени заряжается от накопленной энергии в дросселе L1 током  $i_{L1}$  через находящийся в проводящем состоянии диод D. Таким образом, в качестве накопительного элемента в преобразователе Чука, осуществляющего обмен энергией между входными и выходными цепями, выступает конденсатор C1.

**Компьютерные модели рассматриваемых преобразователей.** В виртуальном пространстве Simulink программы Matlab построена модель преобразователя AC/DC типа bb, представленная на рис. 2. В работе [2] построена подобная модель преобразователя AC/DC типа Чука при том же напряжении питания 50 Гц, AC 310 В и RL-нагрузке 200 Ом, 1 мГн.

В состав силовой цепи преобразователя входят: источник питания 50 Гц, AC 310 В; однофазный выпрямительный диодный мост (D1...D4); дроссель  $L=5$  мГн и его сопротивление  $R=0,001$  Ом; транзистор IGBT и диод D; сглаживающий конденсатор  $C =300$  мФ; RL-

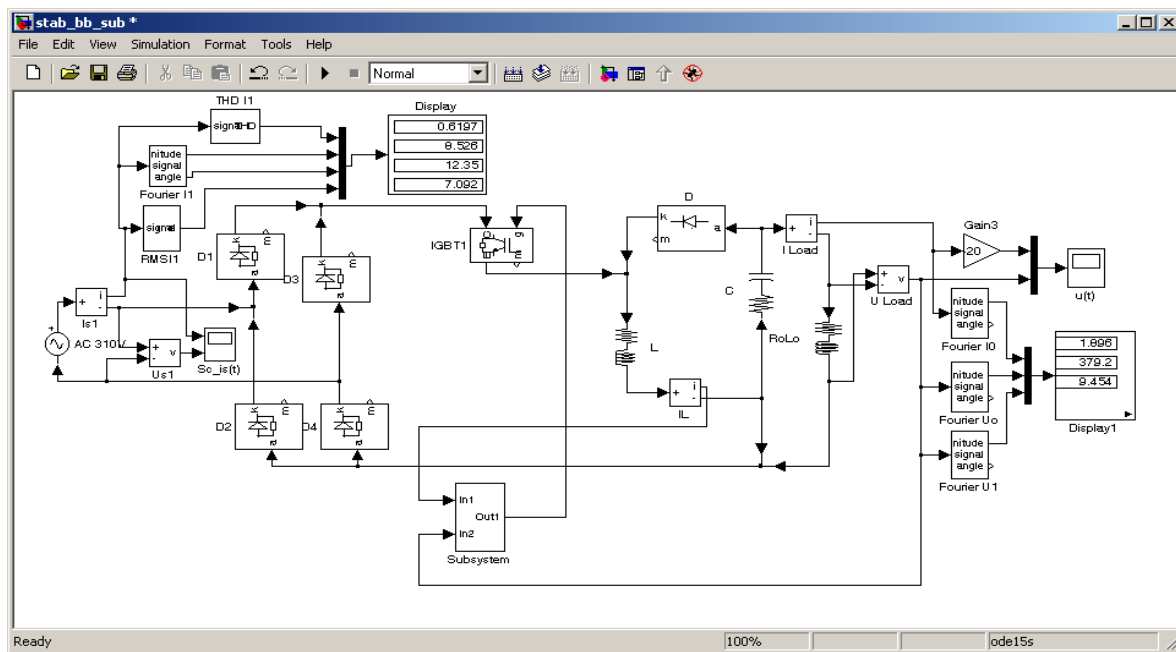


Рис. 2

нагрузка 200 Ом, 0,1 мГн; датчик измерения тока  $IL$  дросселя  $L$ , сигнал которого подается на вход In1 устройства управления Subsystem преобразователем; датчик измерения  $U_{Load}$  напряжения на  $RL$ -нагрузке, сигнал которого поступает на второй вход In2 устройства управления преобразователем.

**Устройство управления** представлено в виде отдельного блока Subsystem. Его модель показана на рис. 3. В состав устройства управления входят следующие элементы:

- блок Sine Wave – генератор синусоидального сигнала (синхронизированный с сетевым напряжением питания) и блок Abs формирования модуля синусоидального сигнала в виде выпрямленных полуволн;
- два входных зажима In1 и In2, на которые соответственно поступают сигнал датчика тока дросселя  $L$  и сигнал обратной связи по выходному напряжению;
- блок суммирования Sum1 сигнала задания (  $U_{zad} = 5$  В) величины выходного напряжения преобразователя и датчика Gain1 выходного напряжения (с коэффициентом передачи  $k_G = 5:300 = 0,0166$ ). Выходной сигнал блока Sum1 через регулятор PI и блок Saturation поступает на второй вход блока умножения Product, на первый вход которого поступает сигнал блока Abs формирования модуля синусоидального сигнала;
- блок суммирования Sum сигнала задания с блока Product и сигнала датчика измерения тока  $IL$  дросселя с зажимом In1;
- компаратор Relay, формирующий последовательность импульсов управления силовым транзистором, которые поступают на выходной зажим Out1 через D-триггер;
- генератор Pulse Generator, сигнал которого поступает на синхронизирующий вход D-триггера, и два осциллографа для на-

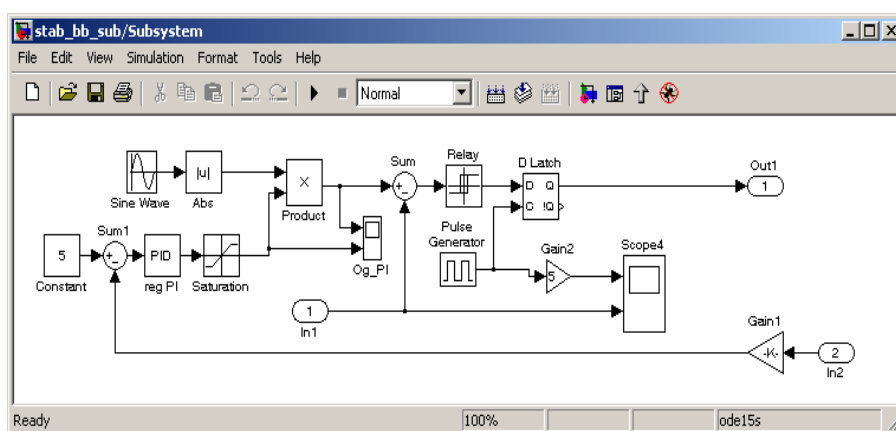


Рис. 3

блюдения сигналов системы управления.

Генерируемые генератором Pulse Generator импульсы являются несущей частотой модуляции преобразователя (амплитуда импульсов – 1 В; период несущей частоты модуляции,  $T_i = 1e-4s$  ( $f_{imp}=10$  кГц); коэффициент глубины модуляции  $\gamma = 0,5$ ) Принимаемая для преобразователя частота модуляции  $f_{imp}$  зависит от динамических свойств полупроводниковых ключей (например, транзисторы IGBT допускают частоту переключений до 20 кГц, транзисторы MOSFET – до 500 кГц). При этом следует заметить, что величина несущей частоты модуляции  $f_{imp}$  определяет скорость регулирования выходных параметров преобразователя AC/DC, а также габариты реактивных элементов.

Принцип работы обоих преобразователей AC/DC основан на управляемом обмене электрической энергией между реактивными элементами на двух временных интервалах соответственно включенного и выключенного состояния силового транзистора с двумя обратными связями по входному току устройства и по выходному напряжению. Отсюда следует возможность применения подобного устройства управления (УУ) как для преобразователя типа buck – boost, так и преобразователя с топологией Чука.

**Анализ результатов моделирования.** По результатам моделирования получены кривые выходных напряжения и тока в цепи нагрузки при пуске преобразователя (рис. 4), которые являются подобными как для AC/DC типа bb, так и Чука.

Выпрямленное выходное напряжение  $u_{wy}$  нарастает без перенапряжений, и время его установившегося значения наступает по истечении шести периодов. Выходное напряжение преобразователя как типа bb, так и с топологией Чука имеет противоположную полярность напряжения по сравнению с выходным напряжением выпрямителя, а средняя величина этого напряжения может быть как меньшей, так и большей амплитуды напряжения питающей сети.

Кривые напряжений  $u_s(t)$  и токов  $i_s(t)$  на входных зажимах устройства изображены на рис. 5. Они являются подобными как для AC/DC типа bb, так и Чука, а именно синусоидальными и синфазными. Это позволяет сделать вывод, что данное устройство имеет коэффициент мощности на входе, близкий единице.

Следует отметить, что фактически ток дросселя  $L1$  повторяет по форме кривую сигнала задания. Причем ток дросселя колеблется возле заданного тока в зоне определяемой величиной гистерезиса  $d_h$  компаратора Relay и он тем более приближается к заданному току, чем меньше величина зоны гистерезиса. Однако одновременно с уменьшением величины зоны гистерезиса  $d_h$  возрастает несущая частота переключений транзистора Т и величина потерь переключений выделяемых на силовых ключах.

Из представленных на экранах блоков Display1 и Display (рис. 2) данных измерений можно определить все действующие и средние значения токов и напряжений на входных и выходных зажимах преобразователей. На их основании не составляет трудностей рассчитать основные параметры обеих рассмотренных преобразователей AC/DC, а именно: активную мощность источника питания; активную мощность, выделяемую в нагрузке; коэффициент искажений входного тока  $\gamma_I = I_s/I_1$ ; коэффициент мощности на входе преобразователя  $\lambda_p = \gamma_I \cos \varphi_m$ ; коэффициент пульсации выходного напряжения  $K_p = U_{m1}/U_{wy0} \cdot 100\%$ .

На основании результатов моделирования и приведенных временных диаграмм можно сделать выводы, что входной ток преобразователя находится в фазе с напряжением питания. В этом случае преобразователь при работе на  $RL$ -нагрузку не генерирует реактивную мощность в сеть. Входной ток выпрямителя AC/DC с блоком Чука является практически синусоидальным, однако в случае AC/DC с блоком buck – boost кривая входного тока только модулирована по синусоидальному закону, и импульсный

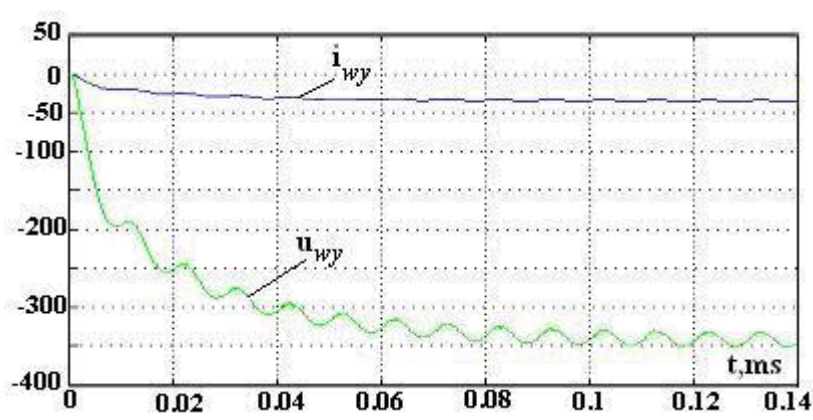


Рис. 4

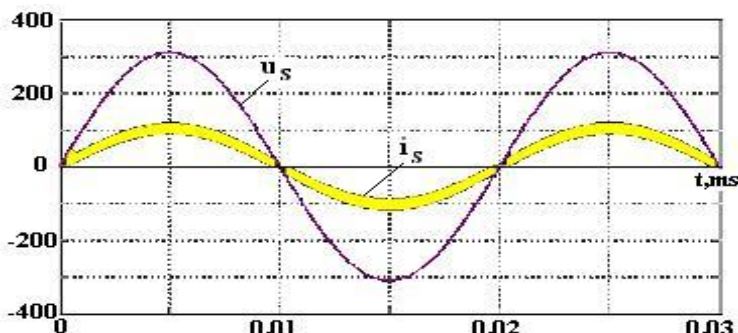


Рис. 5

ту модуляции, фильтрация высших гармонических не составит трудностей.

Из представленных на рис. 4 кривых выходного выпрямленного напряжения и тока видно, что установившийся режим работы устройства наступает по истечении шести периодов напряжения питания. Переменная составляющая в выходном выпрямленном напряжении, которая определяется параметрами сглаживающего фильтра и значением несущей частоты модуляции, является небольшой и составляет менее 3,0 %.

Принимая во внимание более высокую синусоидальность входного тока в преобразователе AC/DC с блоком Чука и высокий коэффициент мощности на выходе устройства, близкий единице  $\lambda_p = 0,947$ , можно утверждать, что рассматриваемый преобразователь AC/DC с блоком Чука лучше выполняет функции корректора коэффициента мощности сети, чем преобразователь AC/DC с блоком buck – boost.

В заключение следует также отметить, что разница между преобразователями типа *bb* и Чука заключается еще и в том, что в качестве накопительного элемента, осуществляющего циклический обмен энергией между входными и выходными зажимами преобразователя, в первом случае выступает дроссель, а во втором – конденсатор. Положительным свойством использования конденсатора *C*<sub>1</sub> является более высокая его добротность по сравнению с дросселем и соответственно меньшие потери энергии. Однако использование конденсатора в преобразователе Чука вызвало необходимость введения дросселей *L*<sub>1</sub> и *L*<sub>2</sub> соответственно во входной и выходной цепях преобразователя. Дроссель *L*<sub>1</sub> введен с целью ограничения токов через конденсатор *C*<sub>1</sub> при его подключении ко входному источнику напряжения, а дроссель *L*<sub>2</sub> – при передаче энергии к накопительному конденсатору *C*<sub>2</sub>. В результате преобразователь AC/DC типа Чука построен с использованием шести силовых элементов (двух полупроводниковых (транзистор Т и диод D) и четырех реактивных элементов), тогда как преобразователь типа *bb* построен с использованием четырех элементов (двух полупроводниковых и двух реактивных элементов). Таким образом, преобразователь с топологией Чука более сложен при изготовлении и настройке; окончательный выбор преобразователя типа buck – boost либо преобразователя с топологией Чука неоднозначен, так как зависит от многих параметров.

- Гречко Э.Н. Широтно-импульсные преобразователи, понижающие-повышающие выходное напряжение // Пр. Ін-ту електродинаміки НАН України: Зб. наук. пр. – К.: ІЕД НАНУ, 2006. – № 4. – С. 112–115.
- Гречко Э.Н. Трехуровневый ШИП с преобразователем Чука // Пр. Ін-ту електродинаміки НАН України: Зб. наук. пр. – К.: ІЕД НАНУ, 2007. – № 18. – С. 112–116.
- Зиновьев Г.С. Основы силовой электроники. – Новосибирск: Изд-во НГТУ, 2003. – 664 с.
- Шидловский А.К., Козлов А.В., Комаров Н.С., Москаленко Г.А. Транзисторные преобразователи с улучшенной электромагнитной совместимостью. – К.: Наук. думка, 1993. – 272 с.

УДК 621.314.6

Е.М. Гречко, докт. техн. наук,

Зеленогурський університет, Інститут інформатики та електроніки,

Польща

Імпульсні мережеві перетворювачі, понижуючі-підвищуючі вхідну напругу

характер данного тока является причиной появления в кривой входного тока более значительных высокочастотных гармонических составляющих.

К примеру, коэффициент искажений входного тока преобразователя AC/DC с блоком Чука не является достаточно низким (THD (I1) = 29,7 %). Однако, принимая во внимание высокую несущую частоту модуляции, фильтрация высших гармонических не составит трудностей.

*Описано будову та принцип роботи, а також проведено порівняльний аналіз функціональних можливостей перетворювачів AC/DC типу buck – boost і Чука з синусоїдальним вхідним струмом та коефіцієнтом потужності, рівним одиниці. Бібл. 4, рис. 5.*

**Ключові слова:** комп'ютерне моделювання, перетворювачі, транзистор, дросель, конденсатор.

**E.M. Grechko,**

Zelenogurskyi University, Institute of information and electronic, Poland

**Pulse networked converters reducing and rising an output voltage**

The construction and operating principle are described, the comparative analysis of functional capabilities of converters AC/DC of buck-boost type and Chuk type with sinusoidal input current and unit power factor is carried out. References 4, figures 5.

**Key words:** computer simulation, converter, transistor, inductance, capacitor.

Надійшла 25.10.2010

Received 25.10.2010